

Figura 4.34 Relación entre el índice de poros – tensión vertical neta, succión – tensión vertical neta de los ensayos de colapso del grupo A (a succión controlada) y del grupo B (simulación de la evolución de la succión en los ensayos sin control de succión).

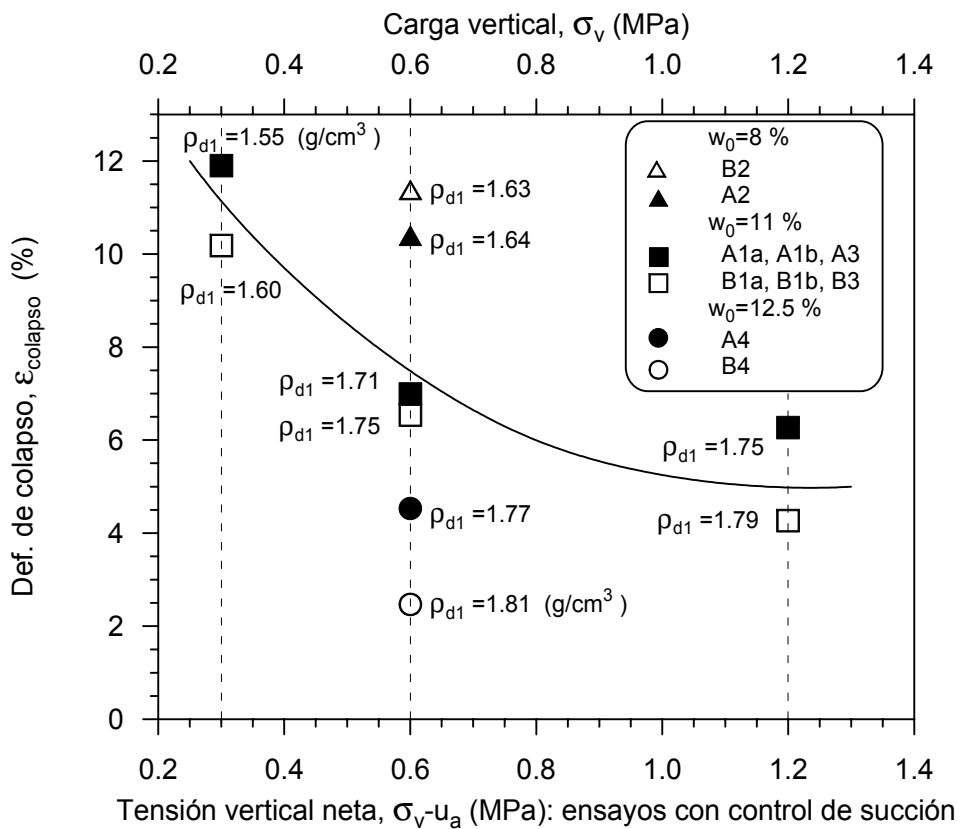


Figura 4.35 Deformación de colapso para diferentes valores de densidad seca.

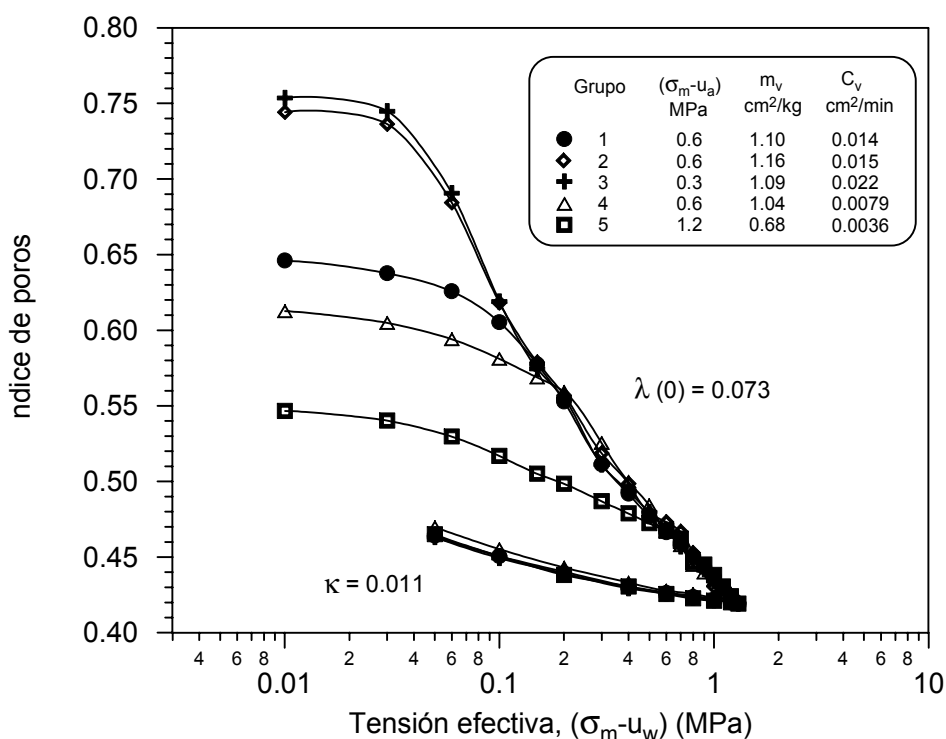


Figura 4.36 Ensayos de compresión isótropa drenados en muestras saturadas.

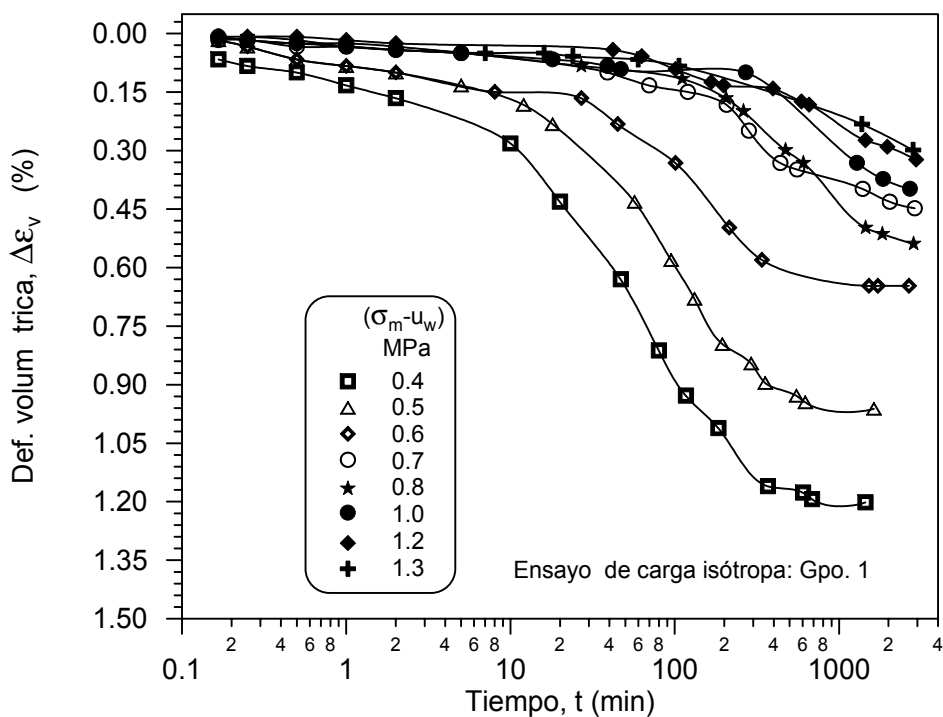


Figura 4.37 Deformación temporal de la muestra para diferentes incrementos de tensión efectiva.

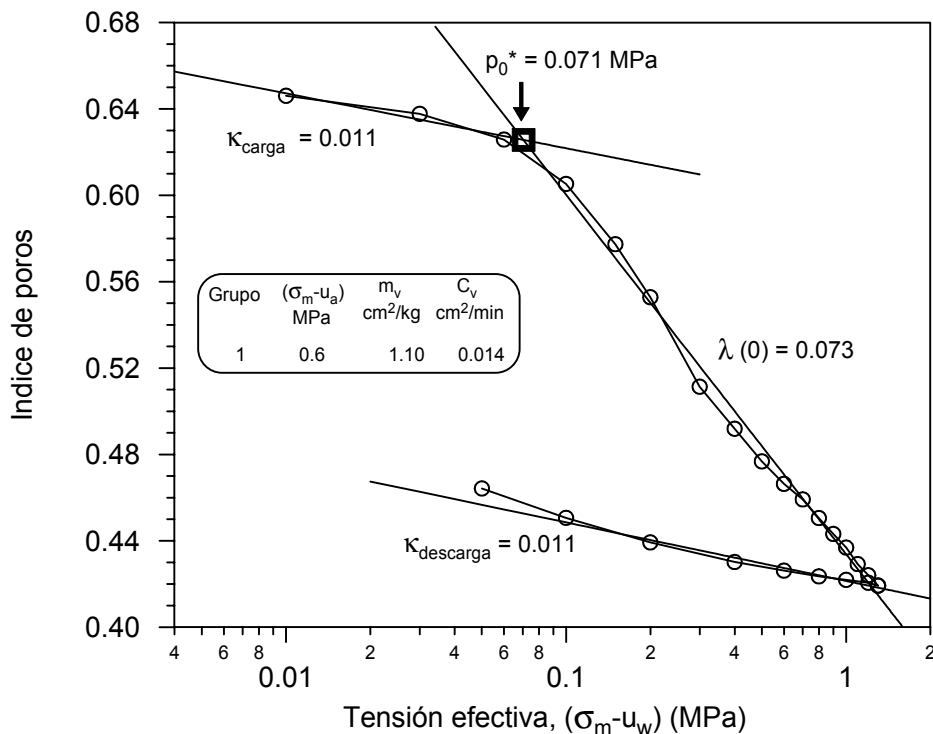


Figura 4.38 Obtención de la presión de preconsolidación en muestras saturadas p_0^* (ensayo de compresión isótropa).

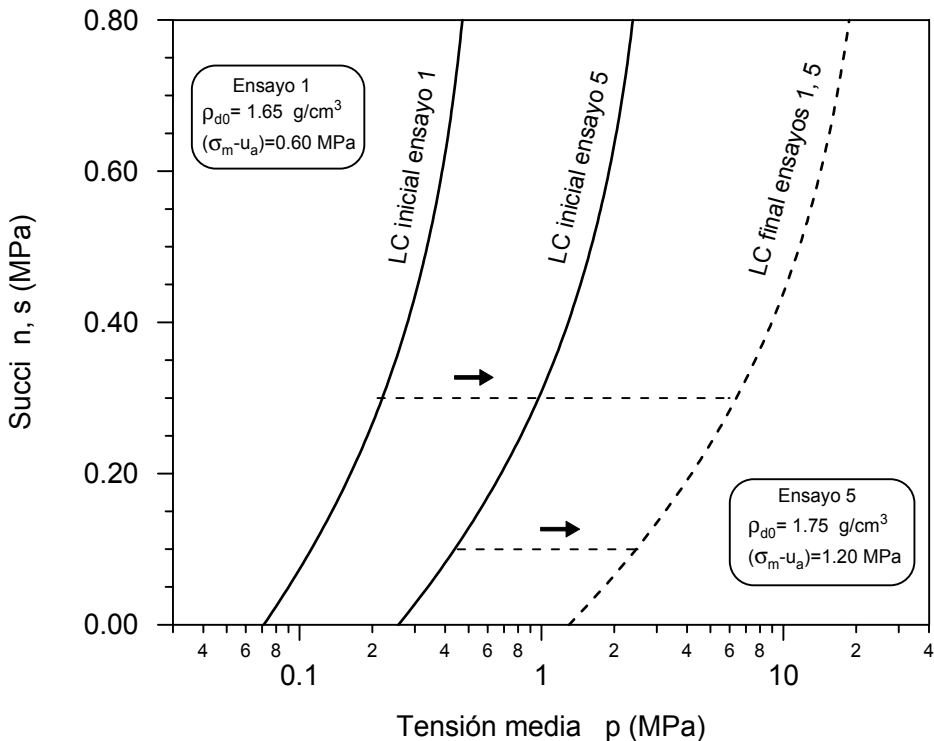


Figura 4.39a Superficies de fluencia en los ensayos de compresión isótropa en muestras saturadas de los ensayos 1 y 5.

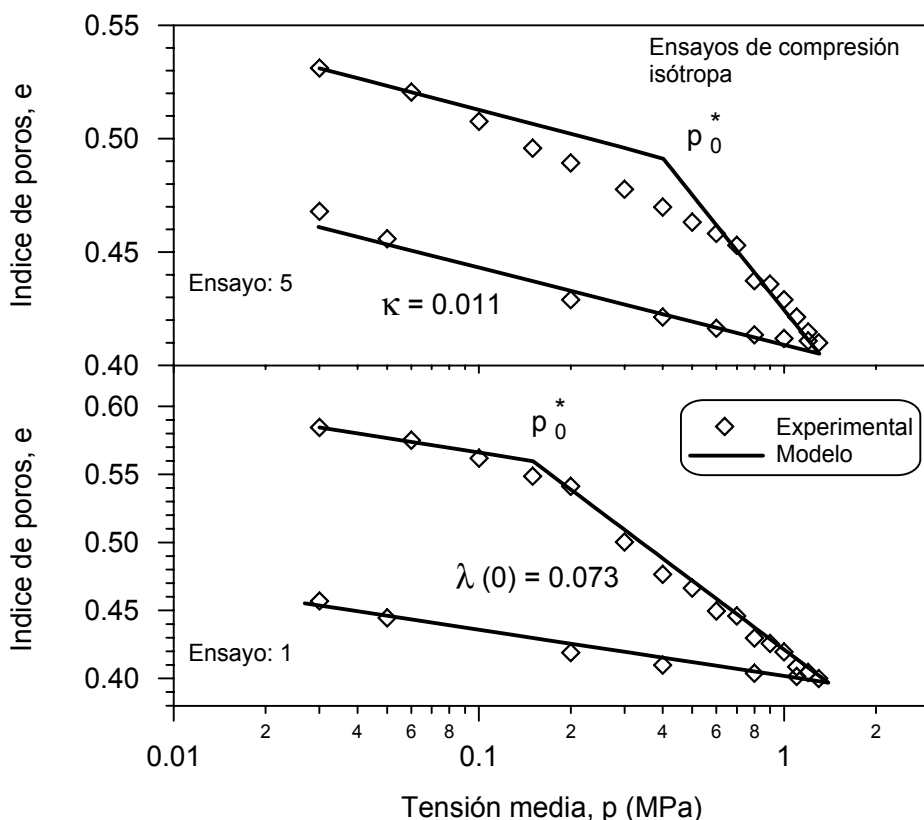


Figura 4.39b Reproducción mediante un modelo numérico de los ensayos de compresión isótropa 1 y 5.

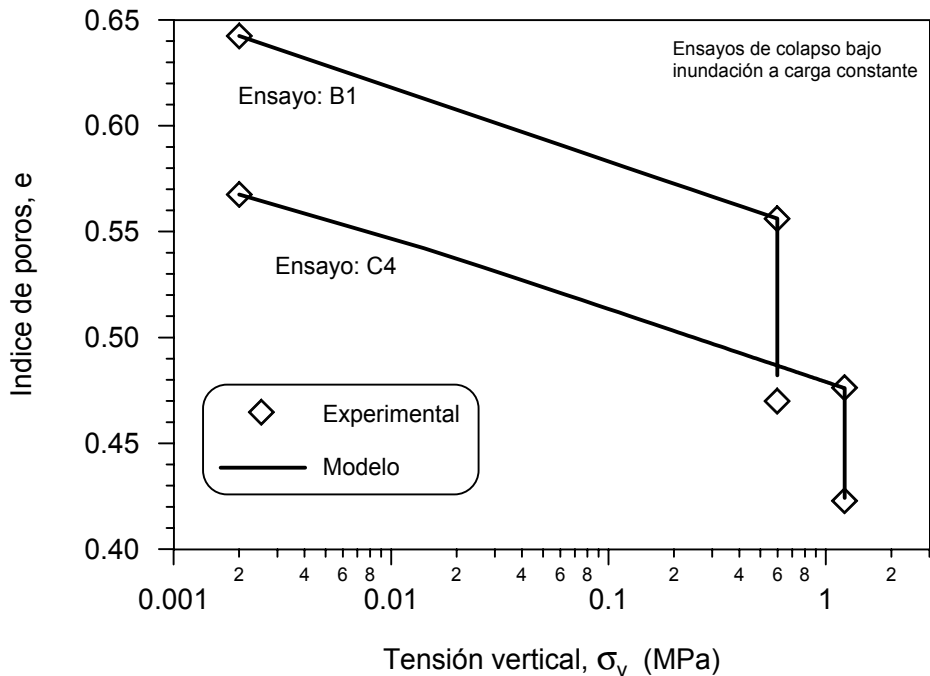


Figura 4.39c Curva experimental versus la curva predicha de los ensayos de colapso bajo inundación a carga constante. Ensayos B1 y C4.

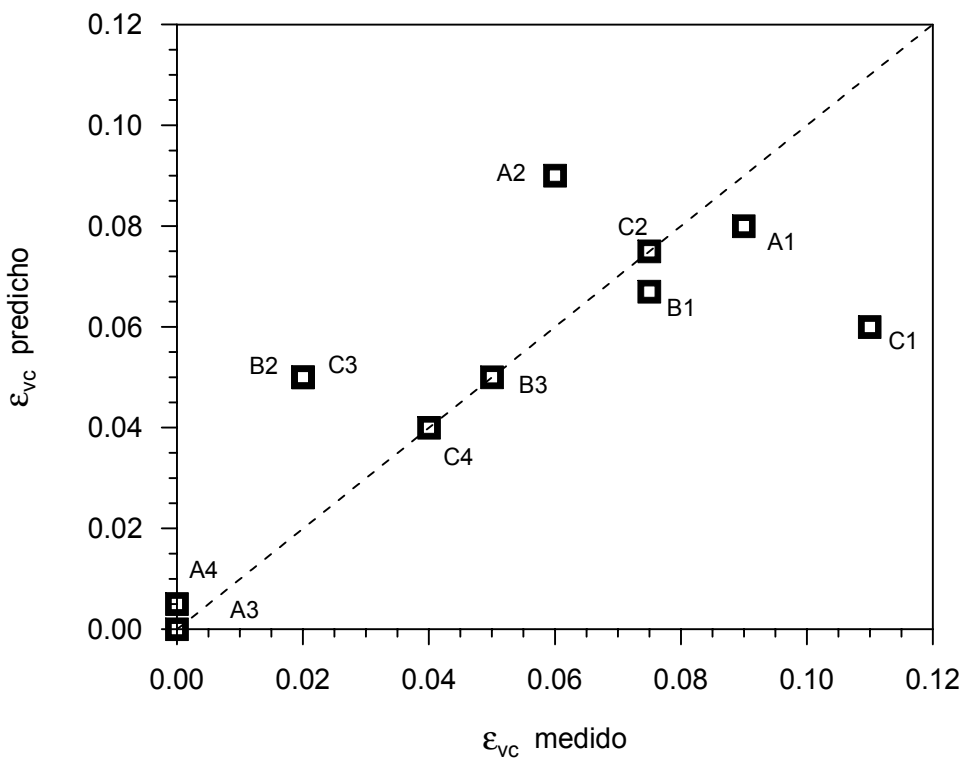


Figura 4.39d Deformación de colapso medidas y predichas.

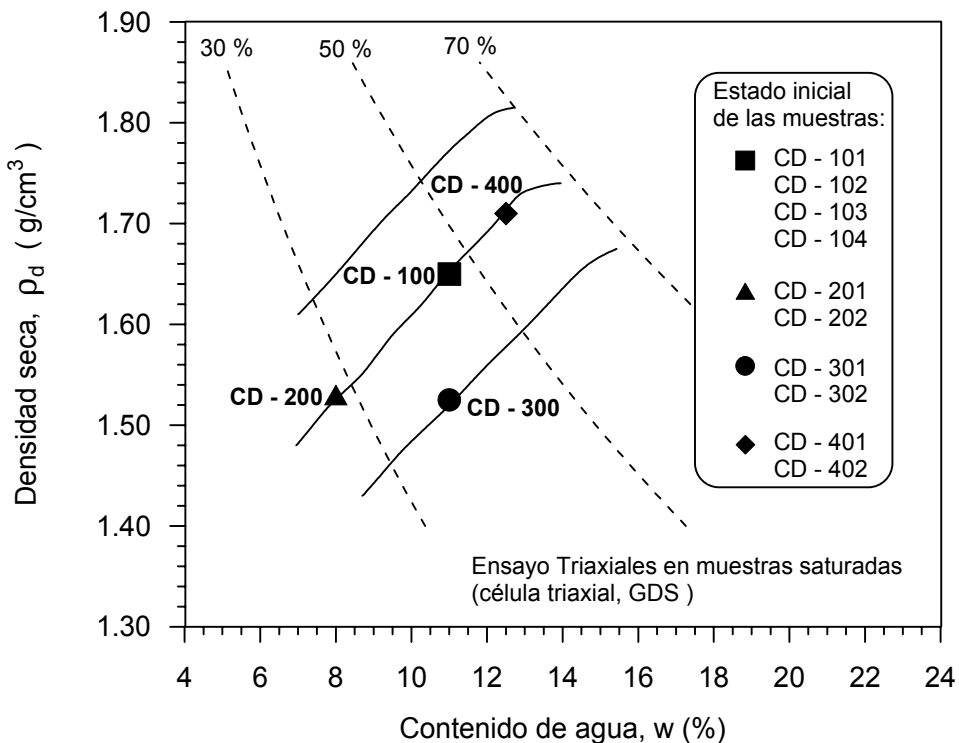


Figura 4.40 Condiciones iniciales de las muestra. Ensayos triaxiales en muestras saturadas (CD) realizados en la célula triaxial GDS instrument Ltd.

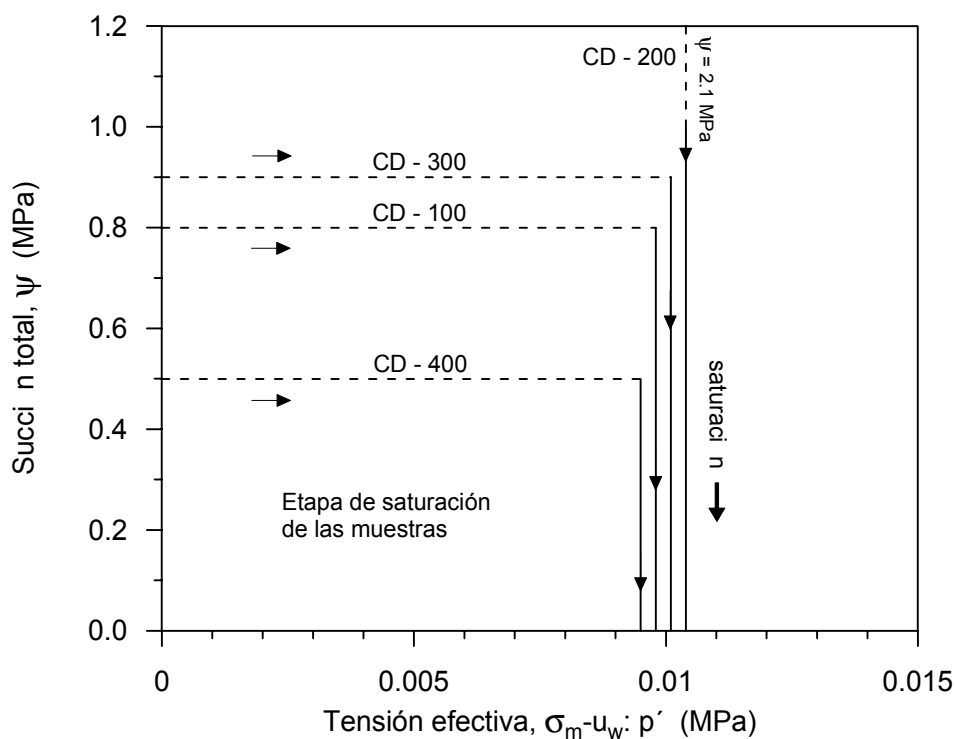


Figura 4.41 Trayectoria de tensión realizada para alcanzar el estado saturado de las muestras de los ensayos triaxiales (GDS intrument Ltd.).

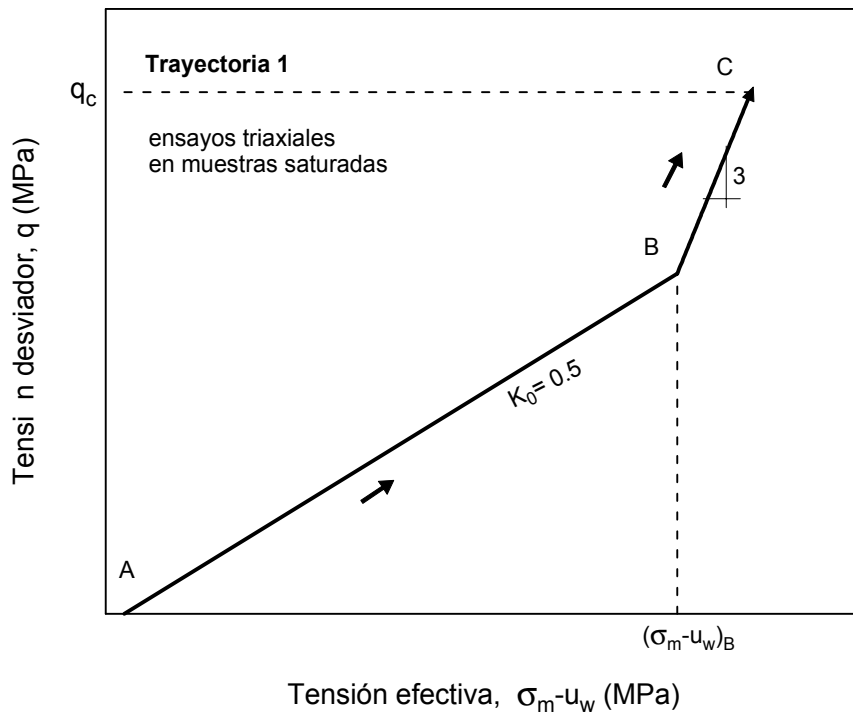


Figura 4.42 Trayectoria de tensión 1. Ensayos triaxiales en muestras saturadas (GDS).

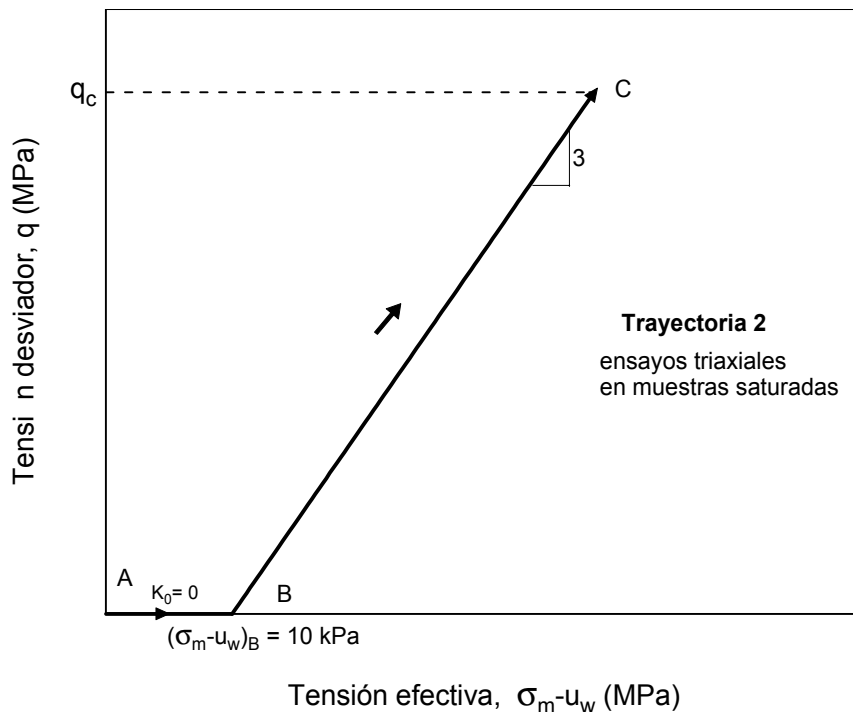


Figura 4.43 Trayectoria de tensión 2. Ensayos triaxiales en muestras saturadas (GDS).

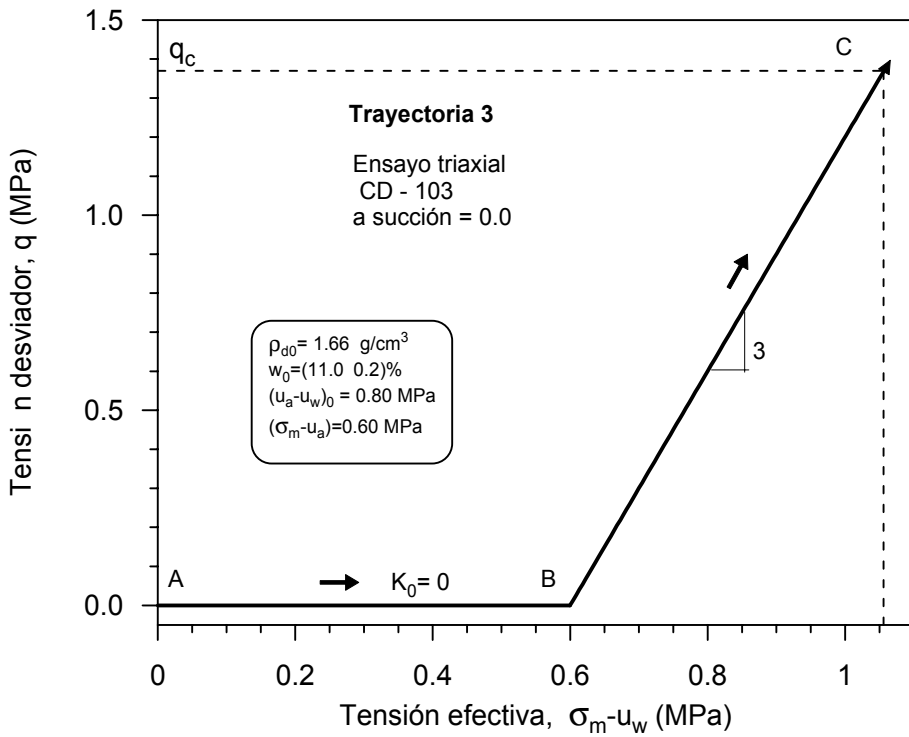


Figura 4.44 Trayectoria de tensión 3 del ensayo triaxial CD-103.

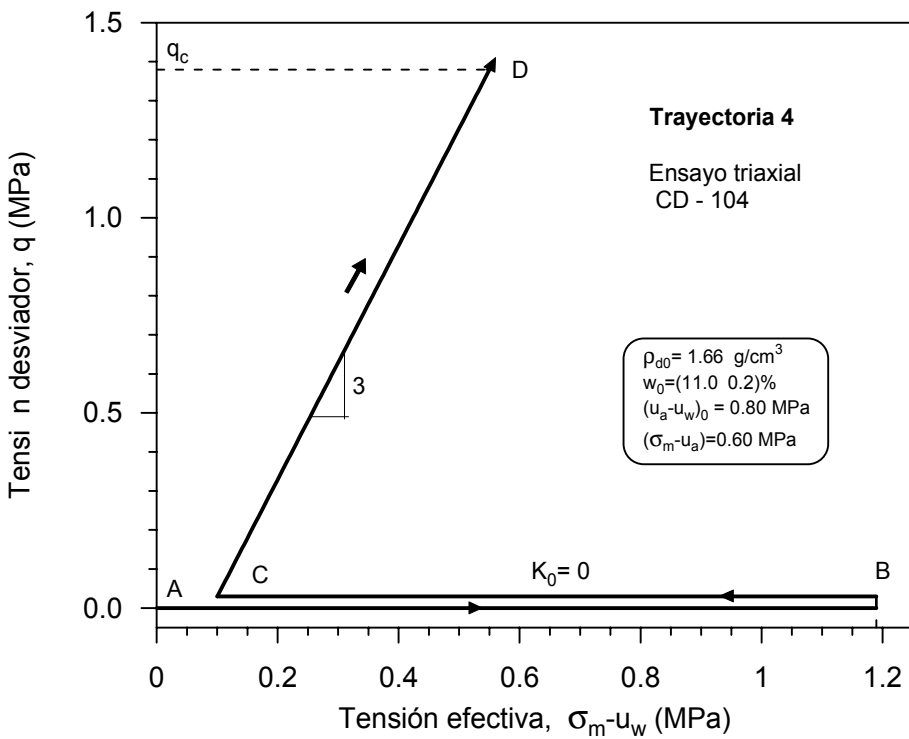


Figura 4.45 Trayectoria de tensión 4 del ensayo triaxial CD-104.

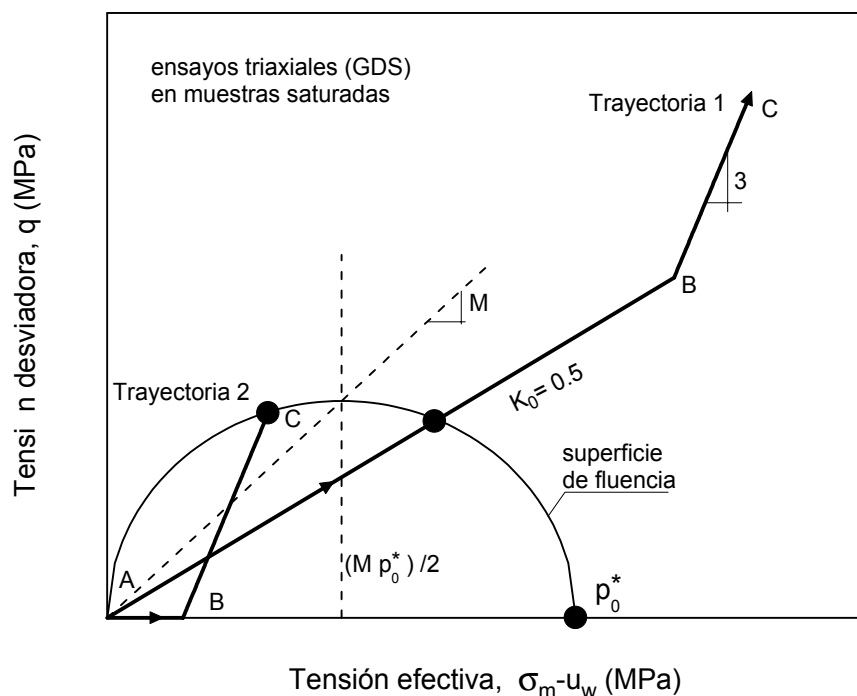


Figura 4.46 Obtención de puntos de la superficie de fluencia con la ejecución de las trayectorias tensionales 1 y 2. Célula triaxial estándar GDS.

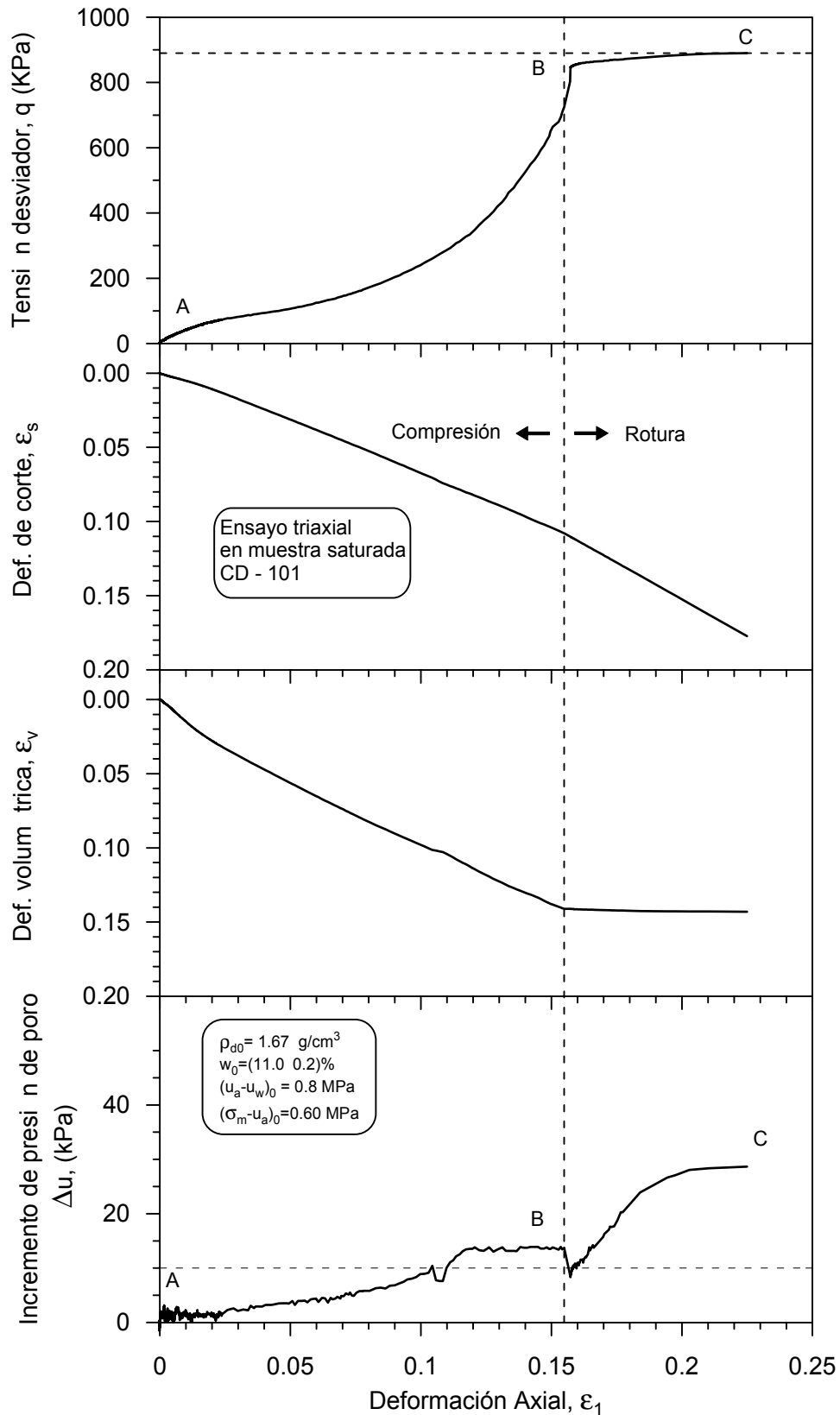


Figura 4.47 Variación de la tensión desviadora (q), deformación de corte (ϵ_s), deformación volumétrica (ϵ_v) e incrementos de la presión de poros (Δu) con respectos a la deformación axial (ϵ_1).
Ensayo triaxial en una muestra saturada (CD-101).

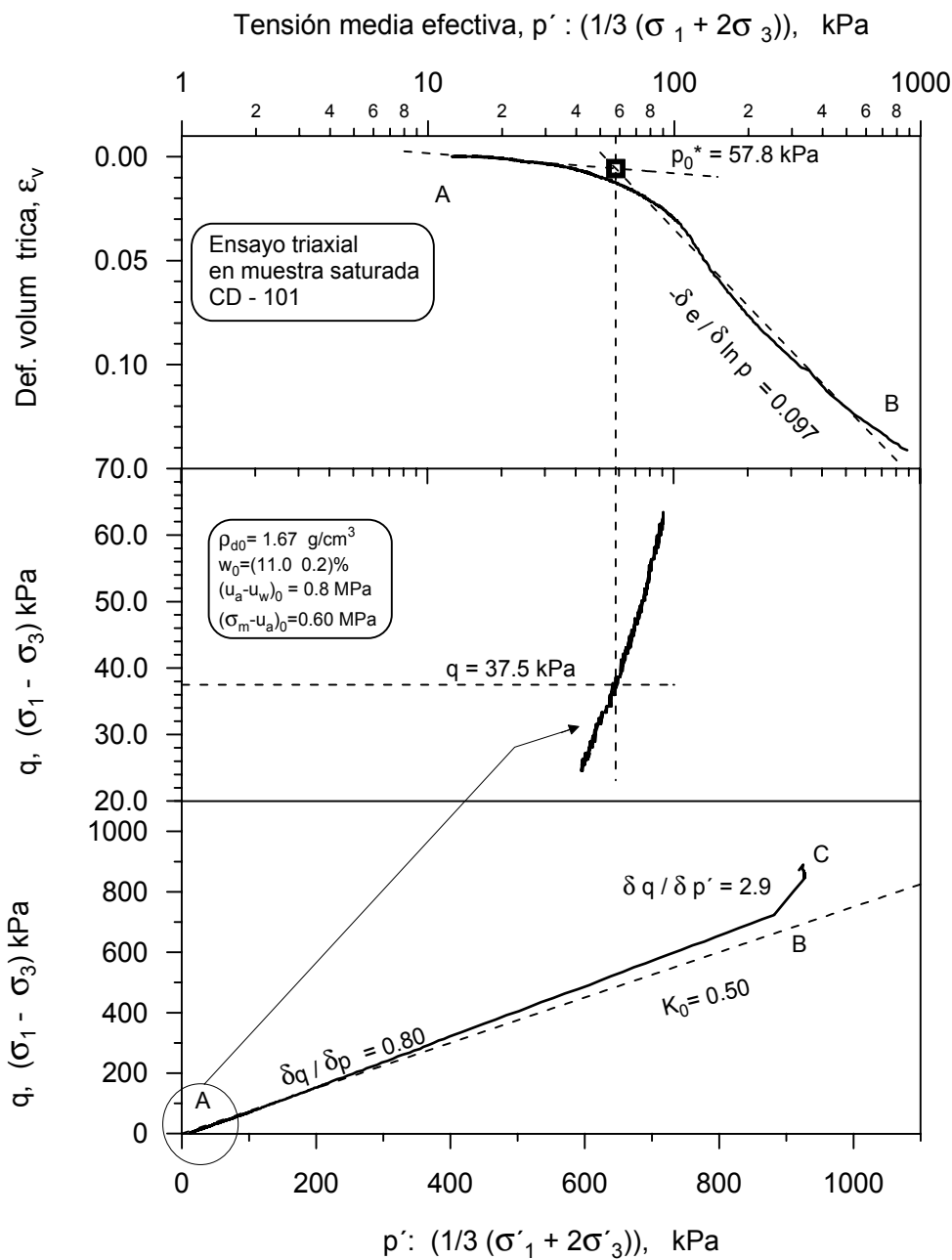


Figura 4.48 Tensión media efectiva : deformación y tensión desviadora en la etapa de rotura (CD-101). Obtención de las coordenadas del punto de la superficie de fluencia (p_0^* , q).

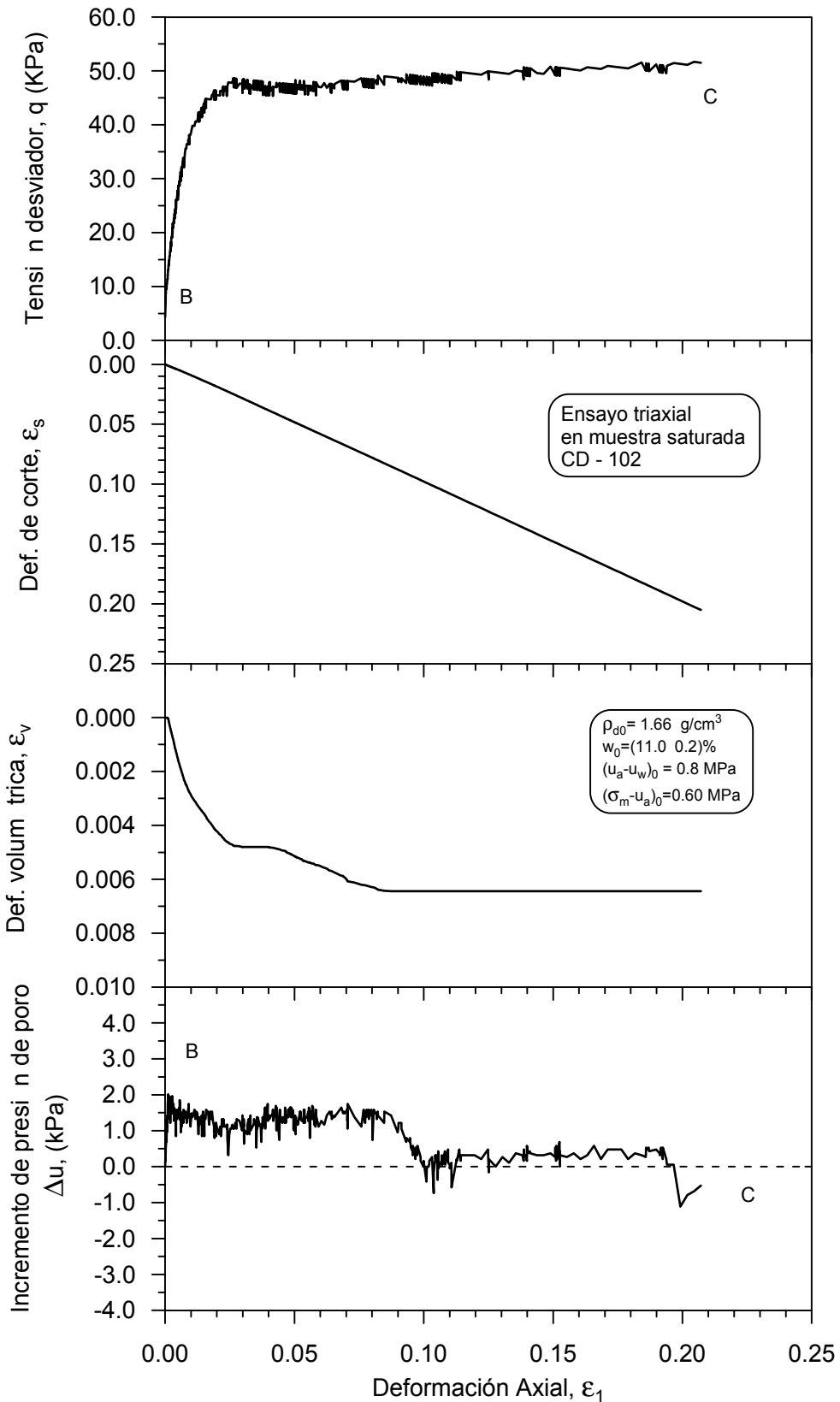


Figura 4.49 Variación de la tensión desviadora (q), deformación de corte (ε_s), deformación volumétrica (ε_v) e incrementos de la presión de poros (Δu) con respectos a la deformación axial (ε_1).
Ensayo triaxial en una muestra saturada (CD-102).

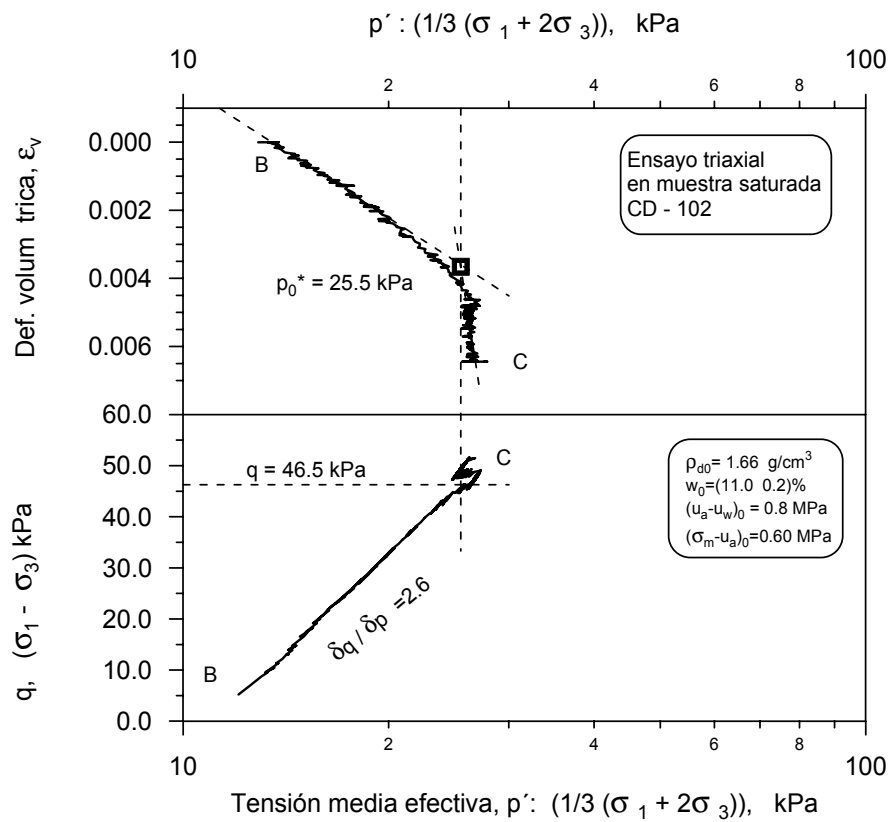


Figura 4.50 Tensión media efectiva : deformación y tensión desviadora en la etapa de rotura (CD-102). Obtención de las coordenadas del punto de la superficie de fluencia (p_0^* , q).

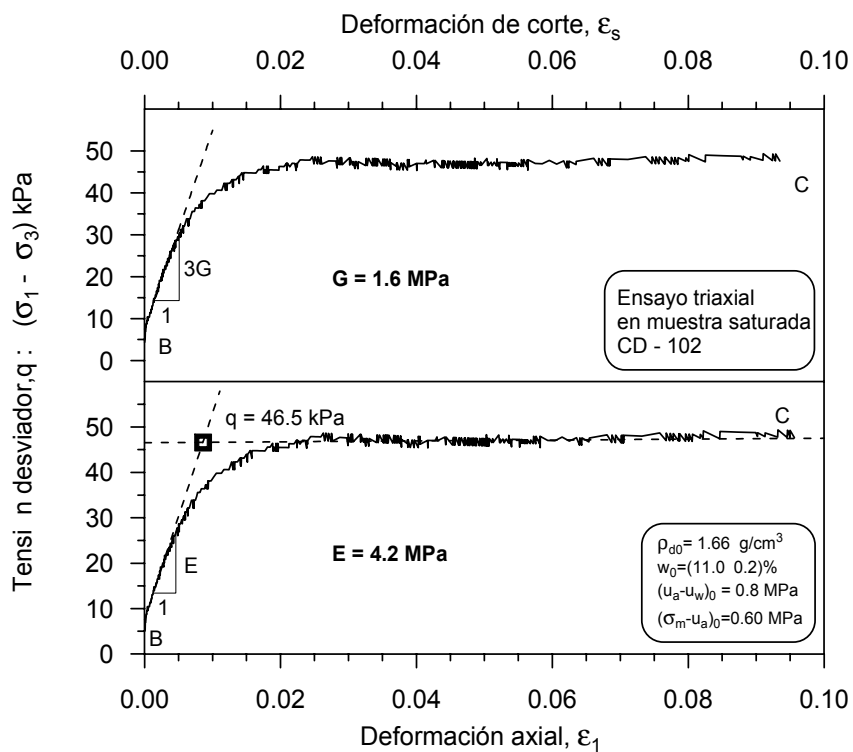


Figura 4.51 Tensión media efectiva vs. deformación axial y de corte (CD-102). Determinación de los módulos elásticos y la ordenada de un punto de la superficie de fluencia (q).

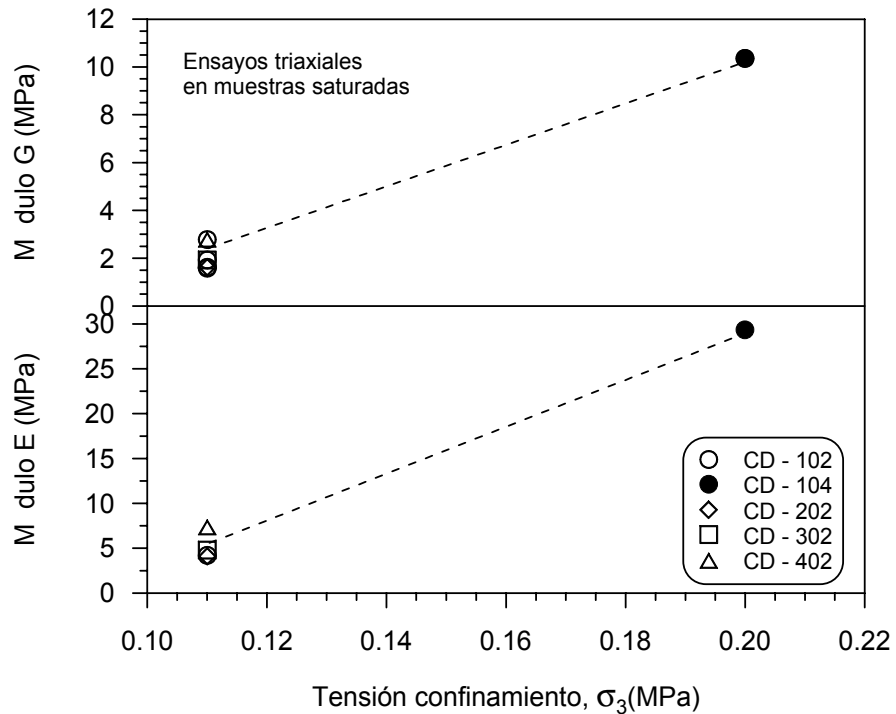


Figura 4.52 Variación de los módulos elásticos con respecto a la presión de confinamiento (σ_3).

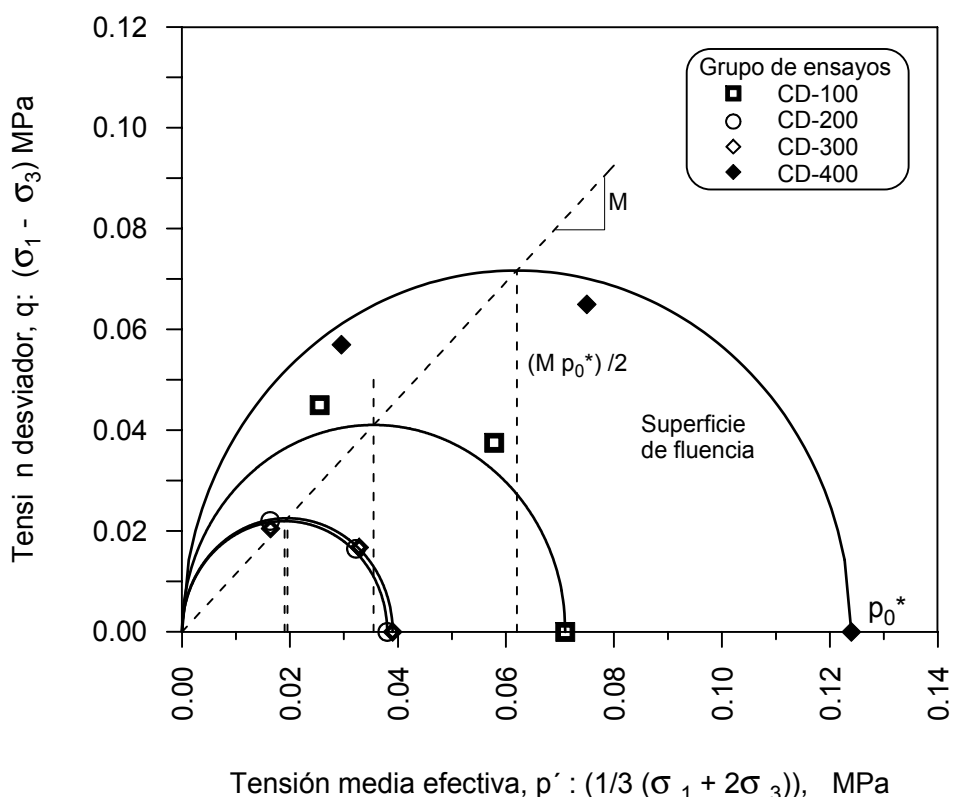


Figura 4.53 Superficie de fluencia simétrica / elíptica en el plano p' : q (modelo Cam-Clay).

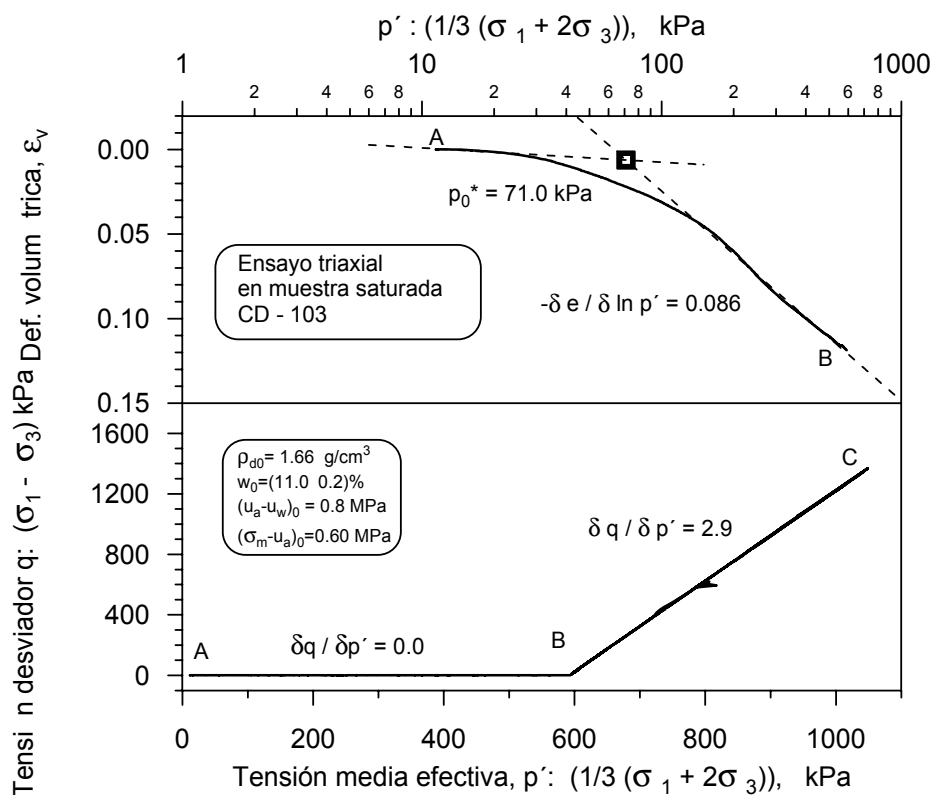


Figura 4.54 Obtención de la tensión de preconsolidación (p_0^*) del ensayo CD-103.

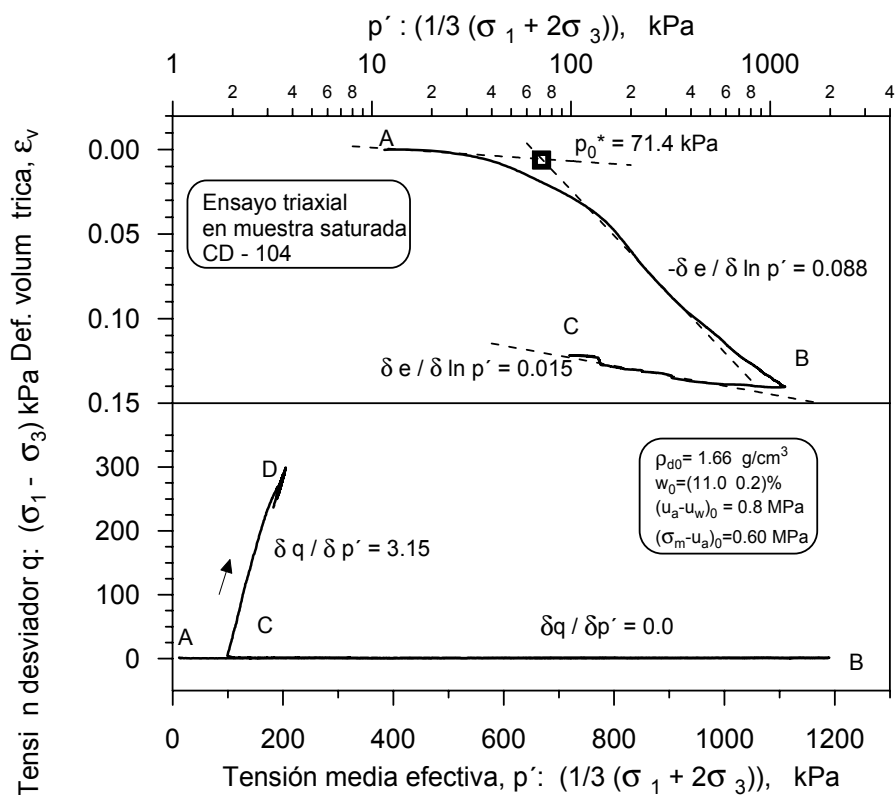


Figura 4.55 Obtención de los parámetros del suelo, tensión de preconsolidación (p_0^*) y parámetros de compresibilidad ($\lambda(0)$, κ), del ensayo CD-104.